

Санкт-Петербургский политехнический университет
Петра Великого

Физико-механический институт
Кафедра «Прикладная математика»

Отчёт
по лабораторной работе №3
по дисциплине
«Интервальный анализ»

Выполнил студент:
Овечкин Данил
Александрович
группа: 5030102/80201

Проверил:
Баженов Александр
Николаевич

Санкт-Петербург
2022 г.

1 Постановка задачи

Дана ИСЛАУ 3×2

$$\begin{cases} a \cdot x_1 + b \cdot x_2 = c \\ x_1 - k \cdot x_2 = 0 \\ d \cdot x_1 + 0 \cdot x_2 = e \end{cases} \quad (1)$$

где a, b, c, d, e - положительные интервалы, k - положительное число такие, что система 1 несовместна. Для нее необходимо провести вычисления и привести иллюстрации:

- Максимум распознающего функционала
- Достижения разрешимости ИСЛАУ за счет коррекции правой части
- Достижения разрешимости ИСЛАУ за счет коррекции матрицы
- Оценок вариабельности решения
- Управления положением максимума распознающего функционала за счет коррекции матрицы ИСЛАУ в целом
- Управления положением максимума распознающего функционала за счет коррекции матрицы ИСЛАУ построчно

2 Теория

2.1 Распознающий функционал

Распознающим называется функционал

$$\text{Tol}(x) = \text{Tol}(x, A, b) = \min_{1 \leq i \leq m} \left\{ b_i - \left| b_i - \sum_{j=1}^n a_{ij} x_j \right| \right\} \quad (2)$$

$$x \in \Xi_{\text{tol}} \Leftrightarrow \text{Tol}(x) \geq 0$$

$\text{Tol}(x)$ - ограничен, вогнут. Он всегда достигает конечного максимума на R^n . Таким образом, найдя максимум данного функционала, можно судить о пустоте допускового множества решений ИСЛАУ. Если $\max_{x \in R^n} \text{Tol}(x) \geq 0$, то допусковое множество не пусто. В противном случае $\Xi_{\text{tol}} = \emptyset$. Обратные утверждения также верны.

2.2 Достижение разрешимости ИСЛАУ за счет коррекции правой части

Общая схема метода заключается в добавлении к каждой компоненте правой части ИСЛАУ величины $K \cdot \nu_i \cdot [-1, 1]$, где i - номер компоненты, ν_i - вес, задающий относительное расширение i -й компоненты, K - общий коэффициент расширения вектора b . В данной работе используются значения $\nu_i = 1 \forall i = \overline{1, 3}$. Подбрав K таким образом, чтобы выполнялось $K + \max_{x \in R^n} \text{Tol}(x) \geq 0$, получим разрешимую систему с непустым допусковым множеством.

2.3 Достижение разрешимости ИСЛАУ за счет коррекции матрицы

Общая схема метода заключается в модификации исходной матрицы ИСЛАУ. Производим замену A на $A \ominus K \cdot N \cdot E$ где $N = \{\nu_i\}$ - матрица весов, K - общий коэффициент сужения A , E состоит из $[-e_{ij}, e_{ij}]$. При выполнении процедуры необходимо следить за тем, чтобы мы оставались в рамках IR .

При выполнении задания достижения разрешимости рекомендуется выполнять корректировку пропорционально координатам точки, в которой достигается максимум распознающего функционала.

При выполнении задания управления положением максимума распознающего функционала в случае коррекции матрицы в целом N - единичная матрица, в случае построчной - $N = \text{diag}\{\nu_i\}$.

2.4 Оценки вариабельности решения

Для оценки вариабельности решений предлагается использовать абсолютную и относительную оценки:

$$\text{ive}(A, b) = \min_{A \in A} \text{cond } A \cdot \|\text{argmax}_{x \in R^n} \text{Tol}(x)\| \frac{\max_{x \in R^n} \text{Tol}(x)}{\|b\|}$$

$$\text{rve}(A, b) = \min_{A \in A} \text{cond } A \cdot \max_{x \in R^n} \text{Tol}(x)$$

3 Реализация

Лабораторная работа выполнена с помощью встроенных средств языка программирования Python и Matlab.

4 Результаты

Рассмотрим ИСЛАУ:

$$\begin{cases} [1, 4] \cdot x_1 + [1, 4] \cdot x_2 = [2, 5] \\ x_1 - [2, 4] \cdot x_2 = 0 \\ [0, 2] \cdot x_1 + 0 \cdot x_2 = [0, 3] \end{cases} \quad (3)$$

Проверим несовместность системы 3:
 $argmax = [1.1167, 0.28327], maxtol = -0.6 < 0$. Следовательно система не совместна.

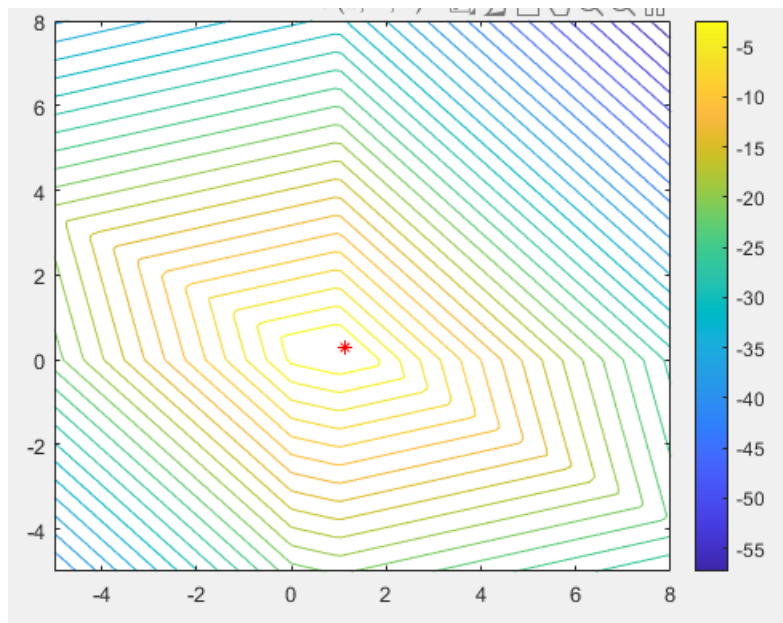


Рис. 1: График $Tol(x)$

4.1 Коррекция правой части

Так как в правой части ИСЛАУ 3 имеется нуль, то нужно использовать расширяющий функционал 2.1.

Система $Ax = b'$ совместна, так как $argmax = (1.1167, 0.28327)$ и $maxtol = 0.9 \cdot 10^{-8}$. При этом оценки варибельности имеют вид:
 $ive = 0.14322$

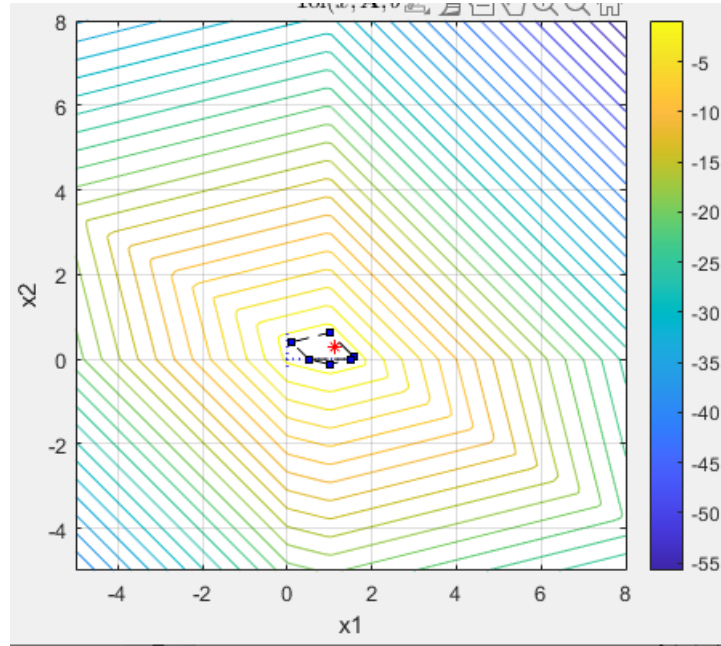


Рис. 2: График $Tol(x)$ при коррекции правой части

4.2 Коррекция матрицы

На каждой итерации будем уменьшать радиусы интервалов матрицы в 2 раза до тех пор, пока максимальное значение распознающего функционала не станет положительным или близким к нулю. Матрица после сужения элементов имеет вид:

$$A' = \begin{pmatrix} [0.991.00] & [2.498, 2.5] \\ 1 & -3 \\ [-0.001, 0.001] & 0 \end{pmatrix} \quad (4)$$

Система $A' \cdot x = b$ совместна, так как $argmax = (4.2034, 1.4011)$ и $maxtol = -8.8818 \cdot 10^{-16}$. При этом оценки варибельности имеют вид:
 $ive = -5.024 \cdot 10^{-16}$

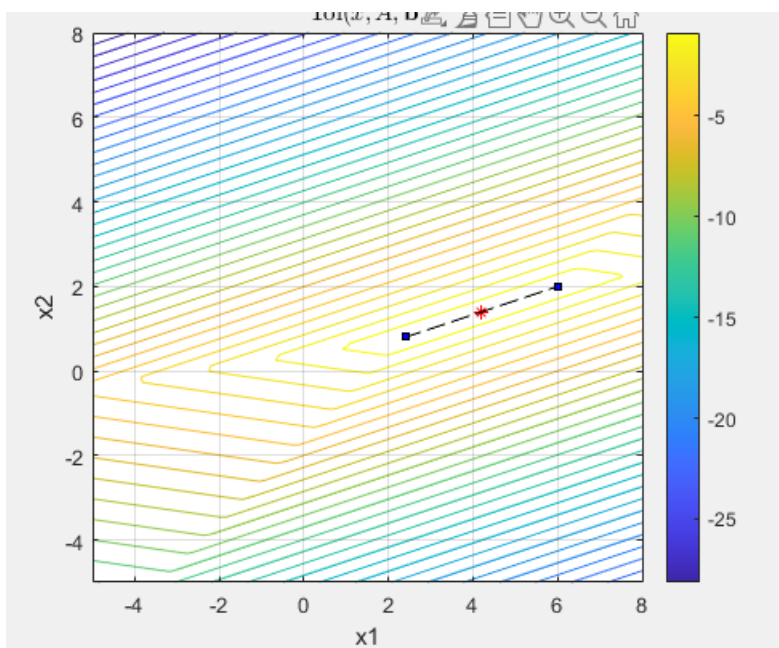


Рис. 3: График $Tol(x)$ при коррекции матрицы

4.3 Управление аргументом решения ИСЛАУ

4.3.1 Управление положением решения за счёт радиусов элементов матрицы в целом

На каждой итерации для каждой строки сужаем интервал

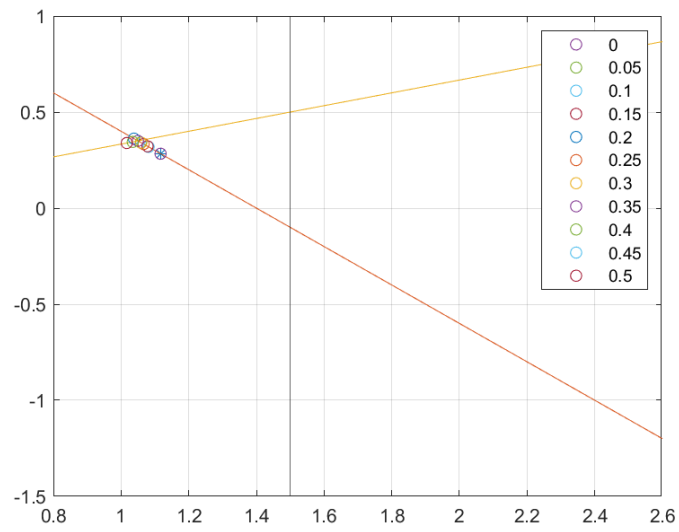


Рис. 4: Положение решения за счёт радиусов элементов матрицы в целом

4.3.2 Управление положением решения за счёт радиусов элементов матрицы построчно

На каждой итерации для каждой строки сужаем интервал

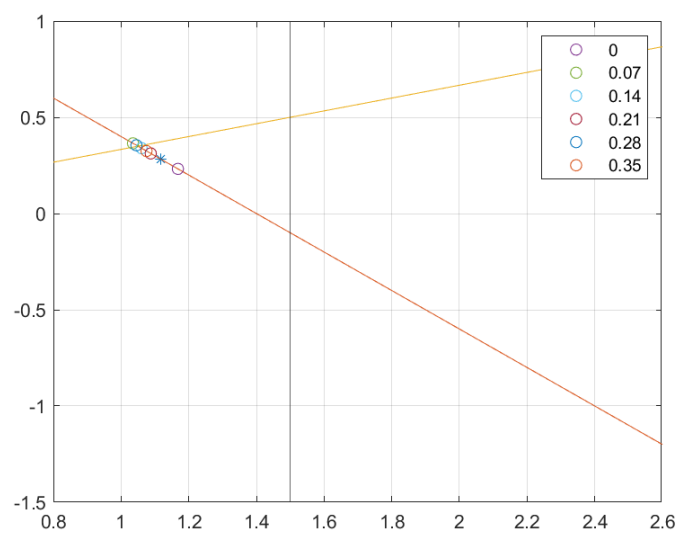


Рис. 5: Положение решения за счёт радиусов элементов матрицы для первой строки

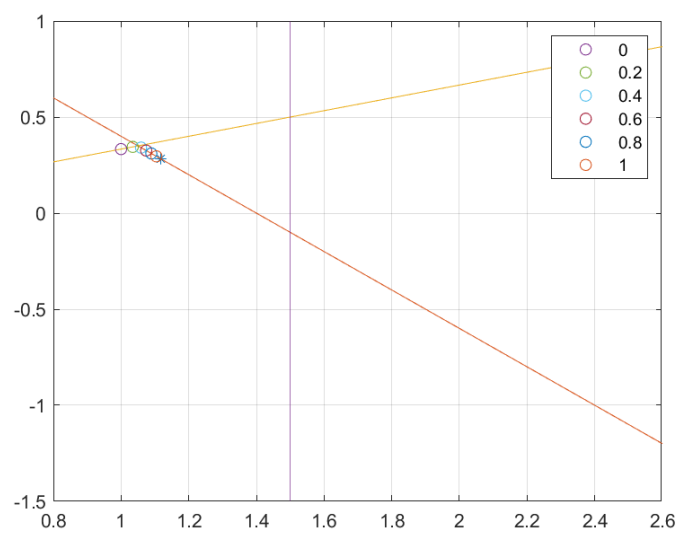


Рис. 6: Положение решения за счёт радиусов элементов матрицы для второй строки

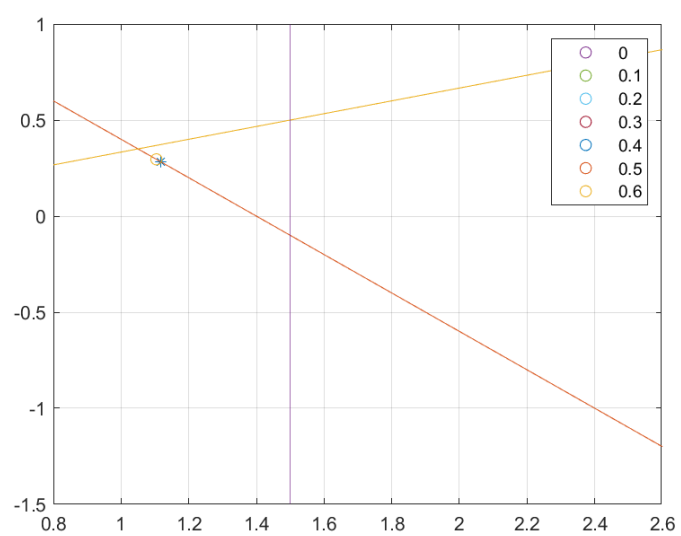


Рис. 7: Положение решения за счёт радиусов элементов матрицы для третьей строки

5 Обсуждение

1. Оценка вариабельности ive меньше при коррекции матрицы
2. При изменении правой части точка максимума распознающего функционала не меняется, а при изменении матрицы значение максимума изменяется
3. При коррекции матрицы в целом $argmax$ стремится к верхней вершине треугольника при увеличении параметра сжатия, составленного из линий уравнений ИСЛАУ 3
4. Аналогичное поведение $argmax$ можно увидеть при коррекции первой строки.
5. А вот при коррекции второй строки $argmax$ стремится идти по нижней грани треугольника
6. При коррекции третьей строки и при увеличении параметра сжатия положение $argmax$ не меняется совсем